

03

## Тепловой кризис вихреисточника в реальном газе, истекающем в вакуум с теплоподводом при постоянном давлении

© А.Н. Кучеров

Центральный аэрогидродинамический институт им. проф. Н.Е. Жуковского,  
140180 Жуковский, Московская область, Россия  
e-mail: ank@aerocentr.msk.su, ank19512006@rambler.ru

(Поступило в Редакцию 6 сентября 2013 г.)

Исследован тепловой кризис вихреисточника при энергоподводе в условиях постоянного давления. Рассмотрены интенсивности энерговыделения, заданные на единицу массы и в единицу объема в режиме I — истечение вихреисточника в вакуум. Изучены аналитические решения для газодинамических параметров и алгоритм построения функции интенсивности тепловыделения в различных вариантах вихреисточника. Определены ограничения на протяженность участка с постоянным давлением, получены зависимости критических координат зоны энергоподвода, критических температур, параметров энергоподвода от расхода, циркуляции газа, от начальной координаты зоны энергоподвода. Рассмотрены ситуации с малыми поправками на изменения теплоемкости газа с ростом температуры и с существенными при температуре торможения 1000 К.

### Введение

В многочисленных ситуациях с распределенными источниками энергии, причиной которых являются электрический разряд, лазерное излучение, оптический пробой, химические реакции [1–9] или другие причины, возможен тепловой кризис. В стационарных одномерных течениях с цилиндрической и сферической симметрией наблюдается ограничение по расходу [10], запыриание, так же как и в строго одномерном случае [11,12].

В цилиндрическом и сферическом источниках различают режимы истечения в вакуум (I), в затопленное пространство (II), из затопленного пространства (III), из вакуума (IV) [13,14]. Существенную роль в цилиндрическом вихреисточнике играет циркуляция [14,15]. Рассматривают энерговыделение, заданное в единицу объема ( $E$ -вариант) и на единицу массы ( $Q$ -вариант).

В режиме I истечения цилиндрического вихреисточника в разреженное пространство (в вакуум) в рамках модели совершенного (идеального) газа с постоянной теплоемкостью ранее найдены ситуации с постоянным давлением в области энергоподвода, которые описываются аналитическими решениями [16] и имеют отличительные особенности от случая заданного распределения интенсивности источников тепла  $f(r)$ . При постоянном давлении в зоне энерговыделения полная скорость потока газа также постоянна. В ситуации энергоподвода на единицу массы ( $Q$ -вариант) величина  $f_Q(r)$  также является постоянной.

В реальном газе с учетом изменения теплоемкости с ростом температуры [17,18] показаны существенные отличия по сравнению с моделью совершенного газа с постоянной теплоемкостью [19–22], например, для зависимости координаты критических сечений  $r_*$ , а также критических значений энергетических параметров подобия  $E$  и  $Q$  от циркуляции  $\Gamma$ .

В настоящей работе в рамках модели газа с изменяющейся теплоемкостью  $C_p(T)$  в диапазоне температур  $T$

порядка  $3 \cdot 10^2 - 10^3$  К (реальный двуатомный газ, смесь азота и кислорода — воздух) исследуем тепловой кризис при истечении вихреисточника в вакуум (режим I) при условии постоянства давления в зоне энергоподвода за счет специального выбора интенсивности теплоподвода  $f(r)$ .

### Постановка задачи

Исходные уравнения для газодинамических величин плотности  $\rho$ , давления  $p$ , температуры  $T$ , компонент скорости  $u, v$  и полной скорости  $V = \sqrt{u^2 + v^2}$ , полной энтальпии  $H = V^2 + h(T)$  приведены, например, в [19–22]

$$r\rho u = m \equiv \frac{m_0}{2\pi\rho_{n0}u_{n0}r_0}, \quad (1)$$

$$V \frac{dV}{dr} + \frac{\gamma_0 - 1}{2\gamma_0\rho} \frac{dp}{dr} = 0, \quad V^2 = u^2 + v^2. \quad (2)$$

$$v = \frac{\Gamma}{r} \equiv \frac{\Gamma_0}{2\pi u_{n0}r_0 r}. \quad (3)$$

$$\frac{dH}{dr} = \frac{f(r)}{\gamma_0\rho u} \begin{cases} E \\ Q\rho(r), \end{cases}$$

$$E = \frac{(\gamma_0 - 1)g_0r_0}{u_{n0}p_{n0}}, \quad Q = \frac{(\gamma_0 - 1)\rho_{n0}q_0r_0}{u_{n0}p_{n0}}, \quad (4)$$

$$H = h + V^2 = \Phi(r) \equiv H_{00} + \frac{1}{\gamma_0 m} \begin{cases} EF(r) \\ QF_\rho(r), \end{cases}$$

$$H_{00} = T_{00} + h_{\epsilon 0}, \quad (5)$$

$$h(T) = T + h_\epsilon, \quad h_\epsilon(T) = \frac{(\gamma_0 - 1)}{\gamma_0} X(T),$$

$$F = \int_{r_b}^r f r dr, \quad F_\rho = \int_{r_b}^r \rho(r) f r dr, \quad (6)$$

$$X = \frac{X_{O_2} \theta_{O_2}}{\exp(\theta_{O_2}/T) - 1} + \frac{X_{N_2} \theta_{N_2}}{\exp(\theta_{N_2}/T) - 1},$$

$$X_T = \frac{dX}{dT}, \quad \theta_{O_2} = \frac{T_{O_2}}{T_{n0}}, \quad \theta_{N_2} = \frac{T_{N_2}}{T_{n0}}, \quad (7)$$

$$p = \rho T, \quad (8)$$

$$c^2(T) = \frac{\gamma_0 - 1}{2\gamma_0} T \gamma(T),$$

$$\gamma(T) = \frac{C_p(T)}{C_v(T)} = \gamma_0 \frac{1 + \frac{\gamma_0 - 1}{\gamma_0} X_T}{1 + (\gamma_0 - 1) X_T}, \quad (9)$$

$$M_r^2 = \frac{2\gamma_0 u^2}{(\gamma_0 - 1) T \gamma(T)}, \quad M^2 = \frac{2\gamma_0 V^2}{(\gamma_0 - 1) T \gamma(T)}. \quad (10)$$

Все величины безразмерные,  $r$  — координата. Характерные физические величины:  $p_{n0}$  — давление на бесконечности в затопленном пространстве,  $\rho_{n0}$  — плотность на бесконечности,  $u_{n0} = \sqrt{h_{n0}}$  — максимальная скорость, которая достигается при истечении в вакуум совершенного (идеального) газа,  $h_{n0} = C_{p0} T_{n0} = \gamma_0 p_{n0} / (\gamma_0 - 1) \rho_{n0}$  — энтальпия,  $C_{p0}$  — теплоемкость при постоянном давлении совершенного газа,  $T_{n0} = \mu p_{n0} / R \rho_{n0}$  — температура, где  $R$  — универсальная газовая постоянная,  $\mu$  — молярная масса газа,  $r_0$  — физический минимальный радиус. Расход газа есть  $m_0$ , kg/s, циркуляция —  $\Gamma_0$ ,  $m^2/s$ ,  $M$ ,  $M_r$  — полное и радиальное числа Маха,  $E$ ,  $Q$  — параметры энергоподвода при интенсивности тепловыделения в единицу объема  $g_0$ ,  $W/m^3$  или на единицу массы  $q_0$ ,  $W/kg$  соответственно (приняли  $g_0 = \rho_0 q_0$ );  $f(r)$  — заданная в интервале  $[r_1, r_2]$  функция, нормированная к единице  $2\pi \int r f dr = 1$ . Безразмерный расход газа есть  $m = m_0 / (2\pi \rho_{n0} u_{n0} r_0)$ , циркуляция —  $\Gamma = \Gamma_0 / (2\pi u_{n0} r_0)$ . Функции  $F(r)$ ,  $F_p(r)$ ,  $\Phi(r)$  характеризуют энергию, подведенную к текущему сечению  $r$ , и полную подведенную (с учетом уже имевшейся в потоке) энергию, величина  $H(r)$  — полную энтальпию газа в долях  $h_{n0}$ .

Функция  $X(T)$  и параметры  $\theta_{O_2}$ ,  $\theta_{N_2}$  характеризуют степень возбуждения колебательных энергетических уровней молекул кислорода  $O_2$  и азота  $N_2$ , эффект является существенным при  $\theta_{O_2}$ ,  $\theta_{N_2} \leq 1$ . Молярные концентрации кислорода и азота равны  $X_{O_2} = 0.21$  и  $X_{N_2} = 0.79$ , характеристические колебательные температуры —  $T_{O_2} = 2228$  К,  $T_{N_2} = 3336$  К.

Начальная и замыкающая координаты равны  $r_b = r_1$ ,  $r_{ex} = r_2$  для вихреисточника и  $r_b = r_2$ ,  $r_{ex} = r_1$  для вихресток. Тепловой кризис наступает в сечении, в котором  $M_r = 1$ . Критическое сечение, совпадающее с замыкающим, обозначим  $r_{cr}$  ( $r_{cr} = r_2$  — вихреисточник,  $r_{cr} = r_1$  — вихресток), не совпадающее —  $r_*$  (при этом  $dM_r(r_*)/dr = 0$  [10,23],  $r_* < r_2$  — вихреисточник,  $r_* > r_1$  — вихресток). Различают критические параметры энерговыделения  $E_{cr}$ ,  $Q_{cr}$  и  $E_*$ ,  $Q_*$  соответственно в зависимости от реализации кризиса в замыкающем сечении или до него.

В случае истечения в вакуум (настоящая задача) и малого отличия характерных давления  $p_{n0}$  и температуры торможения  $T_{n0}$  от условий в стандартной атмосфере

на уровне моря [24–26]  $p_{n0} = 101325$  Па,  $T_{n0} = 288.15$  К, величины  $h_{e0}$ ,  $h_e$  порядка  $10^{-4}$ , ими можно пренебречь, безразмерные  $T_{00} = 1 \approx H_{00}$ . Без энергоподвода  $f = 0$  из (2), (4) получим адиабату Пуассона  $p = \rho^{\gamma_0}$  и решения  $T(r)$ ,  $V(r)$ ,  $\rho(r)$ ,  $p(r)$ ,  $u(r)$ ,  $v(r)$  такие же, как в совершенном газе:

$$r^2 = \frac{\frac{m^2}{T^{2/(\gamma_0-1)}} + \Gamma^2}{H_{00} - T}, \quad \rho = p^{1/\gamma_0} = T^{1/(\gamma_0-1)} = \frac{m}{ru},$$

$$v = \frac{\Gamma}{r}, \quad H = T + V^2 = H_{00}. \quad (11)$$

Величину  $H_{00} (\approx 1)$  оставим, имея в виду общий случай  $H_{00} \geq 1$ . В сечении  $r = r_m = 1$  радиальное число Маха  $M_r = 1$ . Из условия минимума  $dr/dT|_{r=1} = 0$  находим температуру  $T_m = T(1)$ , другие газодинамические величины, а также связь расхода  $m$  с циркуляцией  $\Gamma$

$$T_m = \frac{2}{\gamma_0 + 1} (H_{00} - \Gamma^2) = \left( \frac{2m^2}{\gamma_0 - 1} \right)^{(\gamma_0-1)/(\gamma_0+1)}. \quad (12)$$

Один из параметров подобия  $m$  или  $\Gamma$  независимый, как и физические величины  $\Gamma_0$  и  $m_0$

$$r_0 = \frac{\Gamma_0}{2\pi u_{n0} \Gamma} \equiv \frac{m_0}{2\pi \rho_{n0} u_{n0} m}. \quad (13)$$

Решение (11) дает в сечении  $r_b$  на входе в зону нагрева начальные параметры  $T_b$ ,  $p_b$ ,  $\rho_b$ ,  $u_b$ ,  $v_b$ ,  $V_b$ ,  $M_{rb}$ ,  $M_{vb}$ ,  $M_b$ .

## Решение при постоянном давлении

Аналитические решения в рассматриваемом случае реального (с переменной теплоемкости) газа мало отличаются от решений для совершенного (идеального) газа [16]. Внутри зоны энергоподвода из системы исходных уравнений выведем уравнение для производной  $dp/dr$  и потребуем постоянства давления  $p \approx p_b = \text{const}$  (т.е.  $dp/dr \approx 0$ ):

$$\frac{M_r^2 - 1}{\gamma p} \frac{dp}{dr} = \frac{M_r^2 r g(r)}{\gamma m T} \frac{\gamma - 1}{\gamma_0 - 1} - \frac{M^2}{r} \approx 0 \quad (14)$$

при условии, что радиальное число Маха еще не достигло строго единицы:

$$M_r^2 \neq 1. \quad (15)$$

При этом из уравнения (2) следует, что полная скорость постоянна  $V \approx V_b = \text{const}$ . Радиальная скорость равна

$$u(r) = \sqrt{V_b^2 - \Gamma^2/r^2}, \quad (16)$$

и при  $\Gamma = 0$  радиальная скорость  $u$  постоянна,  $u \approx u_b = \text{const}$ . Из (1), (6) находим

$$\rho(r) = \rho_b \frac{r_b u_b}{r u(r)}, \quad T(r) = T_b \frac{r u(r)}{r_b u_b},$$

$$M_r^2 = \frac{2\gamma_0 u^2}{(\gamma_0 - 1) \gamma T} = M_{rb}^2 \frac{\gamma_b r_b u(r)}{u_b \gamma r}. \quad (17)$$

Решение (17) будет справедливо до критического сечения  $r_*$ , в котором радиальное число Маха достигло единицы и которое примем за замыкающую зону  $r = r_2 = r_{\text{ex}}$ . Строго говоря, равной критической координата замыкающего сечения будет только с некоторой малой погрешностью, пренебрегая которой будем говорить о равенстве  $r_2 \approx r_*$ . Предполагаем также, что в замыкающем сечении производная от радиального числа Маха по координате равна нулю  $dM_r(r)/dr = 0$  ( $r_*$  введено в [10,23], как отмечено выше; численные решения приведены, например в [10,16,20,22,23]), и за „критическим“ сечением значение  $M_r$  удаляется от единицы. Таким образом, стационарное решение справедливо, течение не разрушилось, не перестроилось из-за теплового кризиса. С таким условием примем приближенное равенство всех параметров критическим  $u_*$ ,  $\rho_*$ ,  $T_*$ ,  $M_{r_*}$ .

Из уравнения (14) находим в  $Q$ -варианте с учетом нормировки  $f$  в критическом сечении

$$f_Q(T(r)) = \frac{\gamma(\gamma_0 - 1)p_b V_b^2}{(\gamma - 1)mQ},$$

$$Q_* = 2\pi(\gamma_0 - 1) \frac{p_b V_b^2}{m} \int_{r_b}^{r_*} \frac{\gamma}{\gamma - 1} r dr. \quad (18)$$

Функция  $f(r)$  в реальном газе непостоянна, так как зависит от  $\gamma(T(r))$ . В  $E$ -варианте получим

$$f_E(r) = \rho(r) \frac{\gamma(\gamma_0 - 1)p_b V_b^2}{(\gamma - 1)mE},$$

$$E_* = 2\pi(\gamma_0 - 1) \frac{p_b V_b^2}{m} \int_{r_b}^{r_*} \rho(r) \frac{\gamma}{\gamma - 1} r dr. \quad (19)$$

Окончательно

$$f_Q(T) = \frac{\gamma}{(\gamma - 1)2\pi \int_{r_b}^{r_*} \frac{\gamma r}{\gamma - 1} dr},$$

$$f_E(T) = \frac{\rho(r)\gamma}{(\gamma - 1)2\pi \int_{r_b}^{r_*} \frac{\rho \gamma r}{\gamma - 1} dr}. \quad (20)$$

Отметим, что решения для  $T(r)$ ,  $u(r)$ ,  $\rho(r)$ ,  $V(r)$ ,  $M(r)$ ,  $M_r(r)$ ,  $c(r)$  идентичны в  $E$ - и  $Q$ -вариантах. Различны распределения интенсивности тепловыделения  $f_Q(r)$ ,  $f_E(r)$  и параметры подобия, описывающие энергоподвод ( $Q$  и  $E$ ):  $f_Q(r)$  близко к постоянному при температурах торможения  $T_0$ , близких к  $T_{n0}$  и  $\gamma(T)$ , близких к  $\gamma_0$ ;  $f_E(r)$  близко к решению для плотности  $\rho(r) = m/[r\sqrt{(V_b^2 - \Gamma^2/r^2)}]$ .

Из условия кризиса  $M_r^2(r_*) \approx 1$ , используя решения (17) в критической точке, приходим к уравнениям для  $r_*$  и  $T_*$ :

$$\left(\frac{r_*}{r_b}\right)^4 + B \left(\frac{r_*}{r_b}\right)^2 + C = 0,$$

$$B = -\frac{4m^2 V_b^2}{(\gamma_0 - 1)^2 r_b^2 p_b^2} \frac{\gamma_0^2}{\gamma_*^2} = -M_{rb}^2 M_b^2 \frac{\gamma_b^2}{\gamma_*^2}, \quad (21)$$

$$C = \frac{4m^2 \Gamma^2}{(\gamma_0 - 1)^2 r_b^2 p_b^2} \frac{\gamma_0^2}{\gamma_*^2} = M_r^2 M_{vb}^2 \frac{\gamma_b^2}{\gamma_*^2},$$

$$\left(\frac{r_*}{r_b}\right)^2 = -\frac{B}{2} \left[1 \pm \sqrt{1 - \frac{4C}{B^2}}\right],$$

$$\left(\frac{T_*}{T_b}\right)^2 + \beta \frac{T_*}{T_b} + \delta = 0, \quad \beta = -M_b^2 \frac{\gamma_b}{\gamma_*},$$

$$\delta = \frac{M_{vb}^2}{M_{rb}^2}, \quad \frac{T_*}{T_b} = -\frac{\beta}{2} \left[1 \pm \sqrt{1 - \frac{4\delta}{\beta^2}}\right]. \quad (22)$$

Дискриминант  $D$  в решениях квадратных уравнений (21), (22) одинаков и равен

$$D = 1 - \frac{4C}{B^2} = 1 - \frac{4\delta}{\beta^2} = 1 - \frac{4M_{vb}^2}{M_{rb}^2 M_b^4} \frac{\gamma_*^2}{\gamma_b^2}. \quad (23)$$

При  $r_b = r_m = 1$  имеем  $M_{rb} = 1$ ,  $M_b^2 = 1 + M_{vb}^2 = 1 + M_{vm}^2 = 1 + (\Gamma/u_b)^2$  и (23) запишем с учетом малого отличия показателя адиабаты  $\gamma_*$  от начального  $\gamma_b \approx \gamma_0$ :

$$D = \frac{[(1 + M_{vm}^2)^2 - 4M_{vm}^2(1 - \gamma_1)^2]}{M_m^4}$$

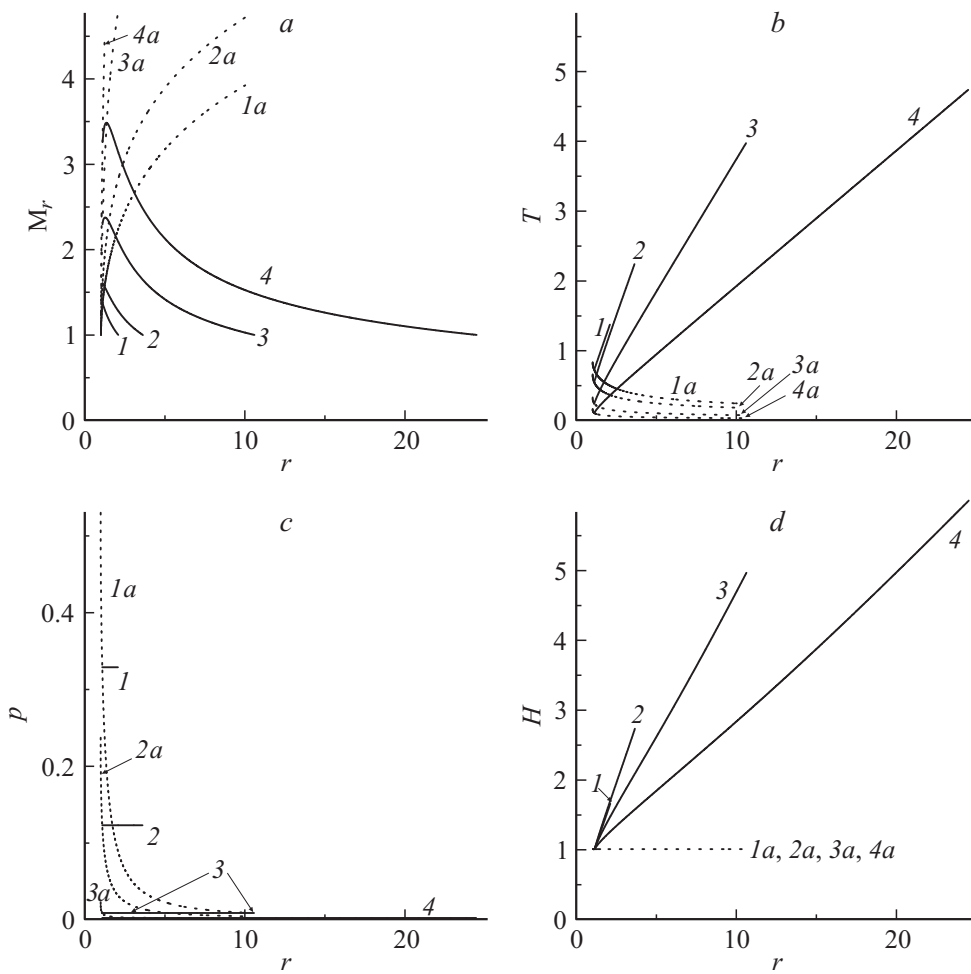
$$\approx \frac{[(1 - M_{vm}^2)^2 + 8M_{vm}^2\gamma_1 + \dots]}{M_m^4}, \quad (24)$$

$$\gamma_* \approx \gamma_0(1 - \gamma_1 + \dots), \quad \gamma_b \approx \gamma_0,$$

$$\gamma_1 = \frac{(\gamma_0 - 1)^2}{\gamma_0} X_T(T_*) \ll 1.$$

В главном приближении совершенного газа, пренебрегая величинами  $\sim \gamma_1$  при нулевом значении дискриминанта  $D = 0$  (совпадающие корни в (21), (22)), получим из (24):  $M_{v,m} = \Gamma/c_m = 1$ ,  $u_m = c_m = \Gamma$ ,  $T_m = 2u_m^2/(\gamma_0 - 1) = 2\Gamma^2/(\gamma_0 - 1)$ . Следовательно, с учетом (12) температура  $T_m = 2(1 - \Gamma^2)/(\gamma_0 + 1)$ , окончательно находим  $\Gamma^2 = (\gamma_0 - 1)/2\gamma_0 = u_m^2 = v_m^2$ ,  $T_m = 1/\gamma_0$ . При  $r_b > r_m$  дискриминант  $D(\Gamma)$  имеет минимум при некоторой циркуляции  $\Gamma$ , но всегда больше нуля. В качестве критических  $r_*$  и  $T_*$  годятся решения со знаком „плюс“ перед радикалом.

В случае реального газа с переменной теплоемкостью дискриминант  $D(\Gamma)$  имеет минимум при  $r_b \geq r_m$ , но больше нуля везде, включая  $r_b = r_m = 1$ . Для определения критических  $r_*$  и  $T_*$  из (21), (22) можно применить итерационную процедуру. Отличие от случая идеального газа связано с показателем  $\gamma_*$ , который отличается от  $\gamma_0$  на малую величину  $\gamma_1 \sim 0.1X_T(T_*)$ .



**Рис. 1.** *a* — распределения радиальных чисел Маха  $M_r(r)$ ; *b* — температуры  $T(r)$ , *c* — давления  $p(r)$ , *d* — полной энтальпии  $H(r)$ ,  $I - \Gamma = 0$  ( $m \approx 0.2588$ ),  $2 - 0.454$  ( $0.1294$ ),  $3 - 0.7766$  ( $0.016175$ ),  $4 - 0.8953$  ( $0.00202$ ),  $1, a - 4, a$  — без теплоподвода,  $r_b = 1.1$ ,  $\gamma_0 = 1.4$ .

### Решение за зоной энергоподвода

Теплоподвод увеличивает температуру газа. Учет изменения теплоемкости с ростом температуры. Выражение для полной скорости  $V(r)$ , полученное из (5), подставим в уравнение сохранения импульса (2), получим [21,22]:

$$\frac{d}{dr} \ln\left(\frac{p}{\rho^{\gamma_0}}\right) = -(\gamma_0 - 1) \frac{X_T}{T} \frac{dT}{dr},$$

$$p = \rho^{\gamma_0} \varphi(T)^{\gamma_0 - 1}, \quad \varphi = C_2 \exp\left[-\int_{T_*}^T \frac{X_T dT}{T}\right],$$

$$p = \frac{T^{\gamma_0/(\gamma_0 - 1)}}{\varphi(T)}, \quad \rho = \frac{T^{1/(\gamma_0 - 1)}}{\varphi(T)}, \quad C_2 = \left(\frac{p_b}{\rho_*^{\gamma_0}}\right)^{1/(\gamma_0 - 1)}. \tag{25}$$

Постоянную интегрирования определили, используя полученную плотность  $\rho_* = m/[r_* \sqrt{(V_b^2 - \Gamma^2 r_*^2)}]$  и давление  $p = p_0 = p_*$  в замыкающем критическом сечении

зоны энергоподвода  $r_*$ . Из интегралов сохранения массы (1) и энергии (5) находим решение, связь координаты  $r$  с температурой  $T$ :

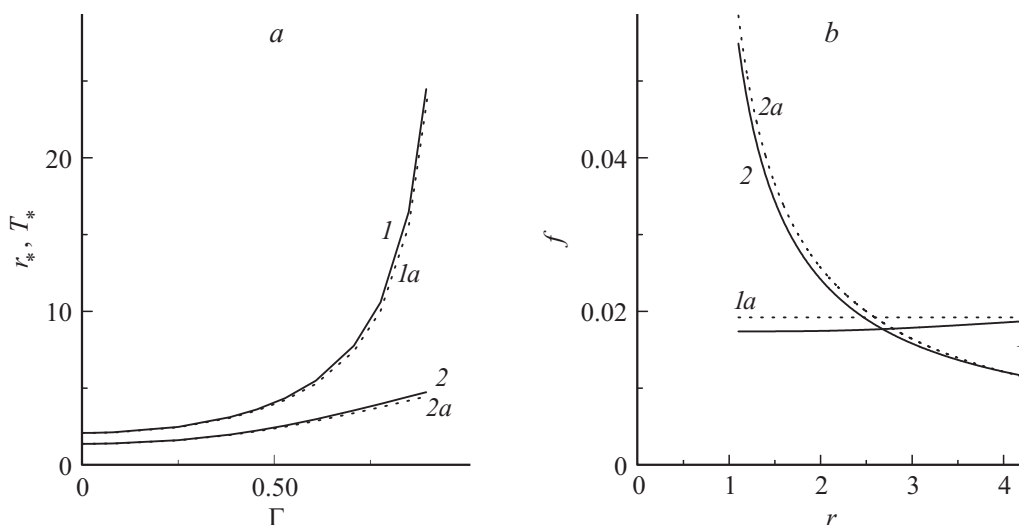
$$r^2 = \frac{\Gamma^2 + \frac{m^2 \varphi^2(T)}{T^{2/(\gamma_0 - 1)}}}{\Phi_* - T - h_\varepsilon(T)},$$

$$\Phi_* \equiv H_{00} + \frac{1}{\gamma_0 m} \begin{cases} E_* F(r_*) \\ Q_* F_\rho(r_*) \end{cases}. \tag{26}$$

При необходимости функции  $f(r)$  в малой окрестности сечения  $r_*$  можно задать так, чтобы решение за зоной гладко сопрягалось с решением в конце зоны энергоподвода.

### Результаты

На рис. 1 представлены распределения радиальных чисел Маха  $M_r(r)$ , температуры  $T(r)$ , давления  $p(r)$  и полной энтальпии  $H(r)$  при различных циркуляциях —



**Рис. 2.** *a* — зависимости критических радиусов  $r_*$  (1) и температур  $T_*$  (2) от циркуляции  $\Gamma$  вихреисточника, истекающего в вакуум (режим I), при нагреве с постоянным давлением  $p \approx p_b = \text{const}$ ; 1, a, 2, a — совершенный (идеальный) газ; *b* — интенсивность тепловыделения  $f(r)$  при циркуляции  $\Gamma \approx 0.5283$ , 1 — Q-вариант, 2 — E-вариант, 1, a, 2, a — совершенный газ,  $r_b = 1.1$ ,  $\gamma_0 = 1.4$ ,  $T_0 = 288.15$  К.

$\Gamma = 0$  (1), 0.454 (2), 0.7766 (3), 0.8953 (4). Приведены также соответствующие распределения газодинамических величин 1a, 2a, 3a, 4a в вихреисточнике без теплоподвода, истекающем в вакуум, режим I. Начало зоны энергоподвода расположено недалеко от минимального сечения при  $r_b = 1.1$ . Критические радиусы составили  $r_* = 2.078$  (1), 3.611 (2), 10.58 (3), 24.47 (4), температуры —  $T_* = 1.373$  (1), 2.233 (2), 3.864 (3), 4.735 (4). Увеличение полной энтальпии  $H$  происходит почти в 6 раз. Отметим, что при температуре около 3000 К теплоемкость увеличивается приблизительно на 27% по сравнению с теплоемкостью при нормальных условиях, отношение  $C_p/C_v = \gamma(T)$  („показатель адиабаты“) уменьшается приблизительно на 8% [19,22]. При циркуляции  $\Gamma > 0.6083$  вблизи входа в зону энергоподвода появляется локальный максимум радиального числа Маха  $M_r(r)$ .

Как показывают данные, приведенные на рис. 2, a, критические радиусы  $r_*$  и температуры  $T_*$  слабо отличаются от соответствующих значений в совершенном газе при температуре торможения  $T_0 \approx 288.15$  К. Обе величины в случае совершенного газа слегка занижены. Если задать некоторую фиксированную протяженность  $d = r_2 - r_b$  зоны энергоподвода и увеличивать циркуляцию  $\Gamma$  вихреисточника, наступит такой момент, что кризис не реализуется в рассматриваемой области, так как критический радиус  $r_*$  больше, чем координата замыкающего сечения  $r_2$ . Температура в конце зоны энергоподвода может быть значительно выше температуры  $T_b$  на входе в зону.

На рис. 2, b построены функции распределения интенсивности источников тепла  $f_Q(r)$  (1) и  $f_E(r)$  (2) в Q- и E-вариантах соответственно, 1a и 2a — совершенный газ, в этом случае значения  $f_Q$  и  $f_E$  завышены. Циркуляция  $\Gamma = 0.528$ , при  $\Gamma = 0$  и  $\Gamma \rightarrow \Gamma_{\text{max}}$  распре-

деления  $f(r)$  аналогичны. Относительные расхождения максимальны для Q-варианта на входе в зону энерговыделения при  $r = r_b$  и составили 1.65, 10.1 и 26.0% при циркуляции  $\Gamma = 0, 0.528$  и 0.895 соответственно. Для E-варианта расхождения составили приблизительно 1.39, 6.64 и 14.8%. Значения интенсивности  $f_Q$  составили  $f_Q \approx 0.02$  на рис. 2, b, (1, 1a) приблизительно в 5 раз больше при циркуляции  $\Gamma = 0$  и в 20 раз меньше при  $\Gamma \approx 0.895$ . Функция  $f_Q$  слабо растет,  $f_E(r)$  в несколько раз убывает с ростом  $r$  от  $r_b$  до  $r_*$ .

## Высокие температуры торможения $T_0$

Рассмотрим вихреисточник, истекающий в вакуум (режим I), в котором температура торможения  $T_0$  может быть существенно выше, чем температура в нормальных условиях. Вместе с тем предполагаем, что в некотором сечении  $r_n$  с ненулевой скоростью имеем условия как в стандартной атмосфере на уровне моря  $p_{n0} \approx 101\,325$  Па,  $T_{n0} \approx 288.15$  К, величина  $h_\epsilon(T_{n0})$  равна по порядку  $10^{-4}$ . Без энергоподвода  $f = 0$  с такой погрешностью ниже сечения  $r_n$  получим адиабату Пуассона  $p \approx \rho^{\gamma_0}$ . В качестве характерных величин выбрали, как и ранее, температуру  $T_{n0}$ , давление  $p_{n0}$ , плотность  $\rho_{n0}$ , энтальпию совершенного газа  $h_{n0}$ , скорость  $u_{n0} = \sqrt{(2h_{n0})}$ , минимальный физический радиус  $r_0$  согласно (13). Интегралы (1), (3), (5) сохранения массы, азимутальной компоненты количества движения, энергии справедливы и в случае больших  $T_0$ , уравнение состояния Клапейрона (8) — до некоторого предела. До зоны энергоподвода безразмерные полная энтальпия  $H_{00}$  и температура торможения  $T_{00}$  могут в несколько раз превышать единицу:

$$H = T + h_\epsilon(T) + V^2 = T_m + h_{\epsilon m} + V_m^2 = H_{00} > 1. \quad (27)$$

Решение уравнения сохранения радиальной компоненты импульса (2) запишем аналогично (25) с нормировкой в сечении  $r_n$ , где  $T = T_n = 1$ :

$$p = \rho^{\gamma_0} \psi(T)^{\gamma_0-1}, \quad p = \frac{T^{\gamma_0/(\gamma_0-1)}}{\psi(T)}, \quad \rho = \frac{T^{1/(\gamma_0-1)}}{\psi(T)}, \quad (28)$$

$$\psi = \psi_m \exp \left[ - \int_{T_m}^T \frac{X_T dT}{T} \right] = \exp \left[ \int_T^1 \frac{X_T dT}{T} \right],$$

$$\psi_m = \exp \left[ \int_{T_m}^1 \frac{X_T dT}{T} \right]. \quad (29)$$

При  $T < 1$  можно принять  $X_T = 0$ ,  $\psi = 1$ , так как вклад малых  $X_T \leq 10^{-4}$  — за пределами погрешности модели. Решение до зоны есть

$$r^2 = \frac{\Gamma^2 + \frac{m^2 \psi^2(T)}{T^{2/(\gamma_0-1)}}}{H_{00} - T - h_\varepsilon(T)}. \quad (30)$$

Вместе с интегралами сохранения массы, энергии и уравнением состояния решение (30) задает величины  $T_m$ ,  $p_m$ ,  $u_m$ ,  $\rho_m$ ,  $V_m$ ,  $M_{r,m}$ ,  $M_m$  в минимальном сечении  $r_m = 1$  и начальные условия  $T_b$ ,  $u_b$ ,  $p_b$ ,  $V_b$ ,  $M_{r,b}$ ,  $M_b$  при  $r = r_b$  на входе в область энергоподвода [19–21].

Заметим, что непосредственно из исходных уравнений (1), (3), (5) сохранения массы, количества движения, энергии и уравнения состояния (8) в отсутствие теплоподвода следует сохранение энтропии  $S$  [17,27] до и после зоны энергоподвода (см. Приложение).

Внутри зоны энергоподвода справедливы решения (16), (17). Для определения критического сечения  $r_*$  и других критических параметров достаточно решить, например с помощью итераций, одно из уравнений (21) или (22). Функции распределения источников энергии  $f_Q(r)$ ,  $f_E(r)$  определяются по формулам (18)–(20).

Условие минимума координаты  $dr/dT|_{r=1} = 0$  выполняется одновременно, как нетрудно убедиться, с условием равенства радиальной компоненты скорости  $u_m$  значению скорости звука  $c_m$  (радиального числа Маха  $M_r$  — единице):

$$u_m^2 = c_m^2 = \frac{\gamma_0 - 1}{2} T_m \frac{\gamma_m}{\gamma_0}. \quad (31)$$

Приведем также выражение для квадрата радиальной скорости  $u_m^2$ , полученное из интеграла сохранения энергии (27), взятого в минимальном сечении  $r_m = 1$ :

$$u_m^2 = T_{00} + h_{\varepsilon 0} - T_m - h_{\varepsilon m} - \Gamma^2. \quad (32)$$

Полагая циркуляцию  $\Gamma$  заданной, как и температуру торможения  $T_0$ , приравняв (31) и (32), находим температуру в минимальном сечении  $T_m$ , радиальную скорость  $u_m$  и поправку  $\psi_m$  из уравнения связи (28)

давления  $p_m$  с плотностью  $\rho_m$ . Наконец, уравнение сохранения массы (1) дает расход:

$$m = \rho_m u_m = \frac{T_m^{(\gamma_0+1)/2(\gamma_0-1)}}{\psi_m} \sqrt{\frac{\gamma_0 - 1}{2\gamma_0}} \gamma_m. \quad (33)$$

Расход  $m$  однозначно связан с циркуляцией  $\Gamma$ , только один параметр подобия является независимым. При  $\Gamma = 0$  расход максимален  $m = m_{\max}$ , как и в совершенном газе с постоянными теплоемкостями (12):

$$T_m = 2H_{00}/(\gamma_0 + 1), \quad m_{\max, \text{ideal}}$$

$$= \sqrt{[(\gamma_0 - 1)/2][2H_{00}/(\gamma_0 + 1)]^{(\gamma_0+1)/2(\gamma_0-1)}}.$$

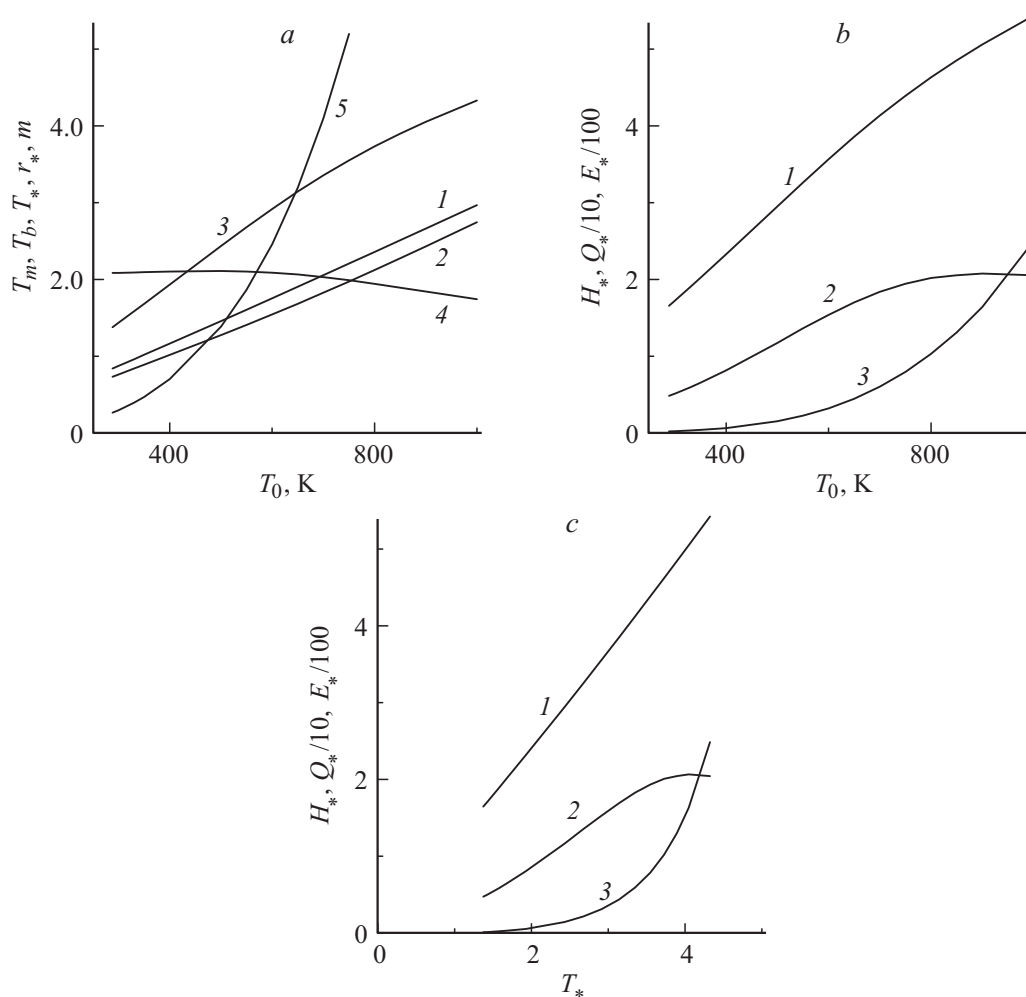
Если задан расход  $m$ , уравнение сохранения массы (1) и уравнение (31) дают:

$$u_m^2 = \frac{m^2 \psi_m^2}{T_m^{2/(\gamma_0-1)}} = \frac{\gamma_0 - 1}{2} T_m \frac{\gamma_m}{\gamma_0}. \quad (34)$$

Уравнение (34) есть интегральное уравнение для определения температуры  $T_m$  и функции  $\psi(T)$ , включая  $\psi_m$ . Находим величины  $T_m$ ,  $\psi_m$ ,  $\gamma_m$ ,  $p_m$ ,  $\rho_m$ ,  $u_m$  и из (32) — циркуляцию  $\Gamma$ . Циркуляция меняется от нуля до  $\Gamma_{\max} = \sqrt{[T_{00} + h_\varepsilon]}$ , расход — от максимального  $m_{\max}$  до нуля.

На рис. 3,а приведены температуры  $T_m$  (1) в минимальном сечении  $r_m = 1$ , на входе  $T_b$  (2) при  $r_b = 1.1$  и на выходе  $T_*$  (3) при  $r_*$ , а также критическая координата  $r_*$  (4), и расход  $m$  (5) в зависимости от температуры торможения  $T_0$ . Показатель адиабаты  $\gamma_m \approx 1.3997-1.3478$ , величина  $\psi_m \approx 1-0.7295$  при изменении  $T_0$  от 288.15 до 1000 К. Изменения радиальной скорости  $u_m$ , плотности  $\rho_m$  и давления  $p_m$  составили  $u_m \approx 0.4082-0.7552$ ,  $\rho_m \approx 0.6339-20.70$ ,  $p_m \approx 0.5284-61.32$ . Отметим, что модель двуатомного газа настоящей работы изначально (в точке нормировки функции  $\psi(T)$ ) на малую величину  $\sim 10^{-4}$  отличается от модели совершенного газа с показателем адиабаты  $\gamma_0 = 1.4$  (воздух). Полная энтальпия  $H_{00}$  возрастает от единицы до 3.623 при увеличении  $T_0$  от 288.15 до 1000 К.

Точка (сечение) нормировки  $r_n$  характеризуется тем, что в ней  $T_n = 1 = p_n = \psi_n = \rho_n$ ,  $h_{\varepsilon,n} = 0$ ,  $\gamma_n = \gamma_0$  по определению. Сечение  $r_n$  совпадает с минимальным  $r_m = 1$  и температура в нем равна  $T_m = 1$  при температуре торможения  $T_0 \approx 350.6$  К. Координата начала зоны тепловыделения  $r_b$  связана с температурой  $T_b$  соотношением (30), согласно которому есть две ветви  $T_b(r_b)$  во всем интервале значений  $r_b = 1-\infty$ : нижняя, соответствующая режимам истечения в вакуум (I) или из вакуума (IV), и верхняя, соответствующая режимам истечения в затопленное пространство II или из затопленного пространства III. При температуре торможения  $T_0 > 350.6$  К температура в минимальном сечении  $T_m > 1$ , точка (сечение) нормировки  $r_n$  расположена на нижней ветви в области режимов I, IV.



**Рис. 3.** Источник в вакуум: *a* — 1 — температура  $T_m$  (в долях  $T_{n0}$ ) в минимальном сечении  $r_m = 1$ , 2 — в начале  $T_b$  ( $r_b = 1.1$ ) и 3 — в конце  $T_*$  ( $r_* = 1.74-2.10$ ) зоны энергоподвода, 4 — критическое сечение  $r_*$ ; 5 — безразмерный расход  $m$  как функции температуры торможения  $T_0$  К (288.15–1000 К); *b* — полная энтальпия  $H_*$  — 1, энергетические параметры  $Q_*$  — 2 и  $E_*$  — 3 в зависимости от  $T_0$ ; *c* —  $H_*$ ,  $Q_*$  и  $E_*$  в зависимости от  $T_*$ . Циркуляция  $\Gamma = 0$ ,  $\gamma_0 = 1.4$ .

При  $T_0 < 350.6$  К температура  $T_m < 1$ , сечение  $r_n$  расположено на верхней ветви в области режимов II, III.

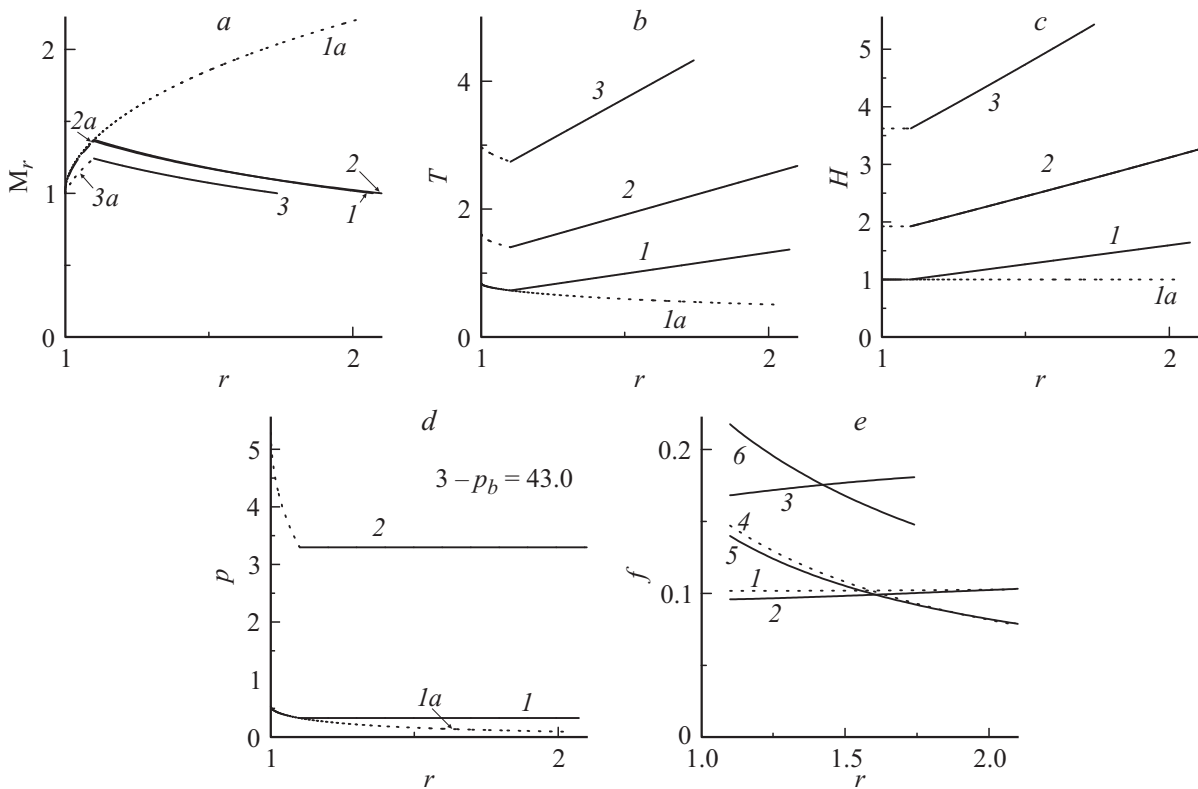
На рис. 3, *b* представлены зависимости от температуры торможения  $T_0$  для критической полной энтальпии  $H_*$  (1) и энергетических параметров  $Q_*$  и  $E_*$  (2 и 3 соответственно). Отметим локальный максимум для  $Q_*(T_0)$  при  $T_0 \approx 900$  К и монотонный рост  $E_*(T_0)$ . На рис. 3, *c* показаны связи величин  $H_*$ ,  $Q_*$  и  $E_*$  с критической температурой  $T_*$ .

На рис. 4 для источника в вакуум (режим I,  $\Gamma = 0$ ) представлены распределения по координате радиального числа Маха  $M_r(r)$ , температуры  $T(r)$ , полной энтальпии  $H(r)$ , давления  $p(r)$ , рис. 4, *a-d*, при различных температурах торможения  $T_0 = 288.15$  К (1 — совершенный газ), 550 К (2), 1000 К (3 — высокоэнтальпийный поток). Показаны также распределения интенсивности тепловыделения  $f_Q(r)$  (рис. 4, *e*, 1–3) и  $f_E(r)$  (4–6) при тех же температурах торможения  $T_0 = 288.15$  К (1, 4 — совершенный газ), 550 К (2, 5) и 1000 К (3, 6). Координата начала зоны энергоподвода равна  $r_b = 1.1$ ,

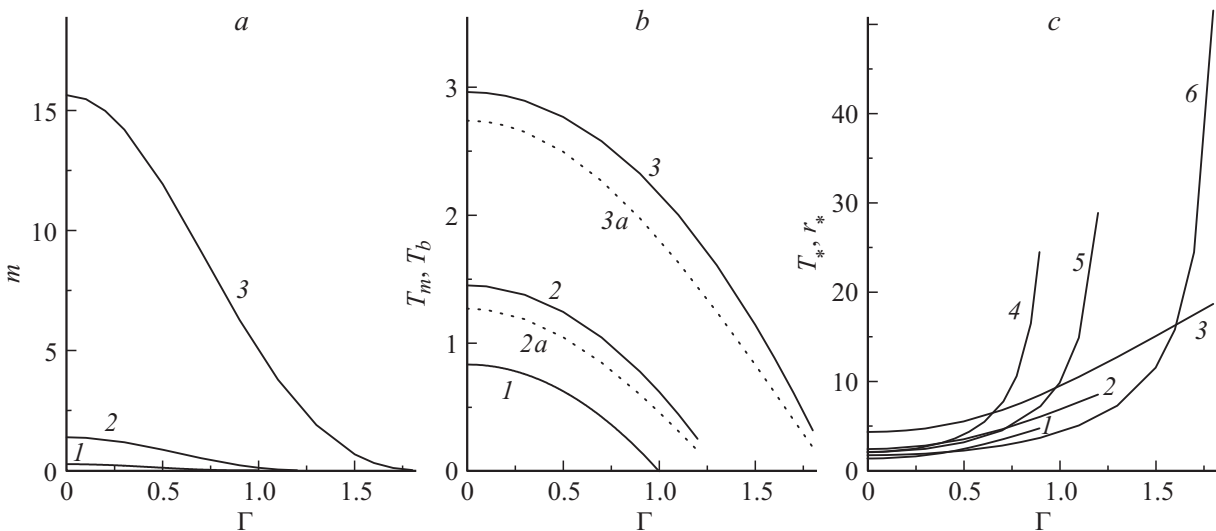
критические координаты составили  $r_* = 2.078$  (1, 4), 2.097 (2, 5), 1.737 (3, 6).

Показатель адиабаты  $\gamma_*$  убывает до 1.356 при 550 К и до 1.321 при 1000 К и  $\Gamma = 0$ .

На рис. 5, *a* построены зависимости безразмерного расхода  $m$  от циркуляции  $\Gamma$  при температурах торможения  $T_0 = 288.15$  К (1, совершенный газ), 500 К (2) и 1000 К (3). Максимальный расход (при  $\Gamma = 0$ ) возрастает от 0.2588 до 15.63. На рис. 5, *b* показаны уменьшения до нуля температур в минимальном сечении  $T_m$  (1–3) и в начальном сечении зоны энергоподвода  $T_b$  (2*a*, 3*a*) с ростом циркуляции  $\Gamma$  от нуля до максимального значения  $\Gamma_{\max} = \sqrt{H_{00}} \approx \sqrt{(1; 1.744; 3.623)} \approx 1.1.321, 1.903$ . Наконец, на рис. 5, *c* приведены критические температуры  $T^*$  (1–3) и координаты  $r^*$  (4–6) при температурах торможения  $T_0 = 288.15$  К (1, 4), 500 К (2, 5) и 1000 К (3, 6), возрастающие с ростом циркуляции, особенно вблизи  $\Gamma \approx \Gamma_{\max}$ . Показатели адиабаты  $\gamma_*$  убывают до 1.299, 1.288 при температуре торможения  $T_0 = 1000$  К и  $\Gamma = 0.8, 1.8$  соответственно.



**Рис. 4.** Распределения по координате: *a* — радиального числа Маха  $M_r(r)$ , *b* — температуры  $T(r)$ , *c* — полной энтальпии  $H(r)$ , *d* — давления  $p(r)$ , 1 —  $T_0 = 288.15$  К (совершенный газ), 2 — 550, 3 — 1000 К; *e* — функции  $f_Q(r)$  — 1-3,  $f_E(r)$  — 4-6, где  $T_0 = 288.15$  К — 1, 4 (совершенный газ), 550 К — 2, 5; 1000 К — 3, 6; циркуляция  $\Gamma = 0$ ,  $\gamma_0 = 1.4$ ,  $r_b = 1.1$ .

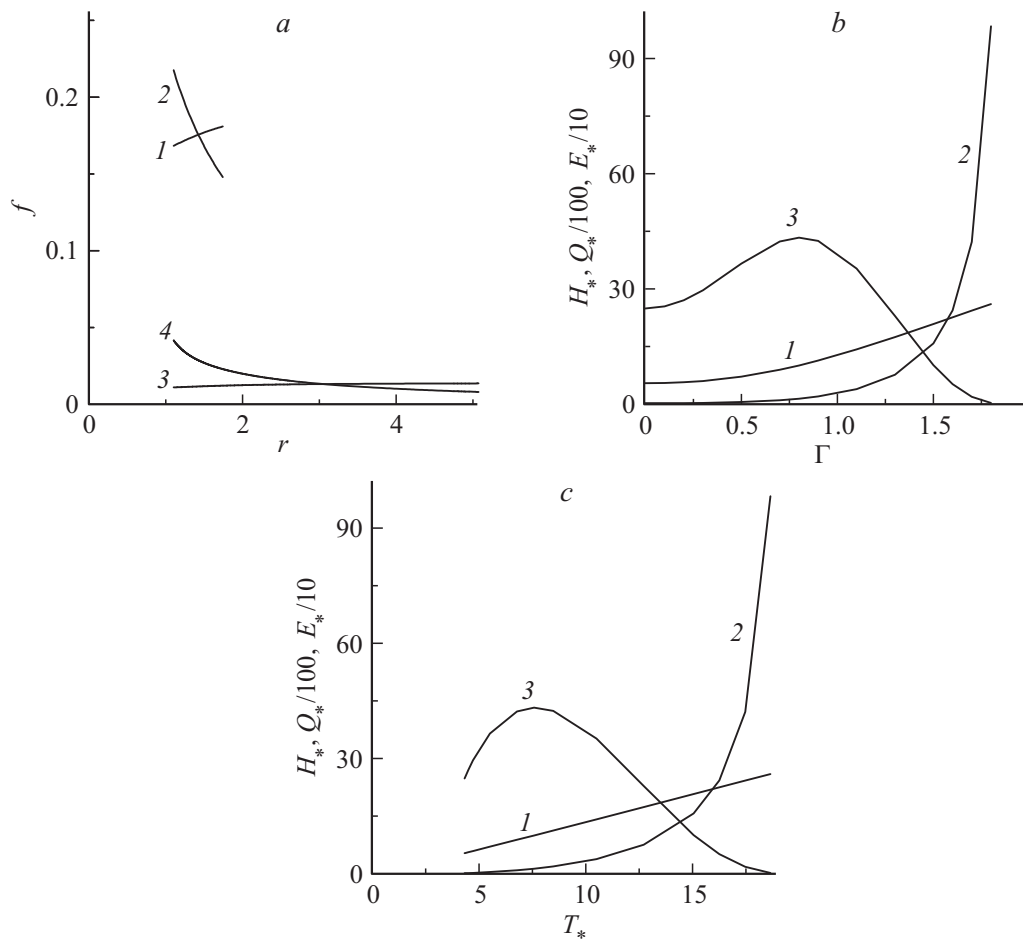


**Рис. 5.** *a* — зависимость расхода  $m$  от циркуляции  $\Gamma$  при температуре торможения  $T_0 = 288.15$  К (1), 500 К (2) и 1000 К (3); *b* — температура в сечении минимума  $T_m$  — 1-3, температура на входе в зону  $T_b$  — 2, *a*, 3, *a*; *c* — критические температуры  $T_*$  — 1-3 и сечения  $r_*$  — 4-6 при  $T_0 = 288.15$  К (1, 4), 500 К (2, 5) и 1000 К (3, 6).

На рис. 6 представлены: *a* — функции источников тепла  $f_Q(r)$  — 1, 3 и  $f_E(r)$  — 2, 4 при циркуляции  $\Gamma = 0$  (1, 2) и  $\Gamma = 1.1$  (3, 4); *b* — зависимости от  $\Gamma$  для полной энтальпии  $H_*$  (1, совпадающей с потоком энергии от внешних источников  $H_* = \Phi_Q = \Phi_E$  и в  $Q$ -, и в  $E$ -вариантах),

для критических значений энергетических параметров  $Q_*$  (2) и  $E_*$  (3); *c* — зависимости величин  $H_*$ ,  $Q_*$  и  $E_*$  от  $T_*$  при  $r_b = 1.1$ ,  $\gamma_0 = 1.4$ ,  $T_0 = 1000$  К. Отметим локальные максимумы значений энергетического параметра  $E_*$  при  $\Gamma \approx 0.80$  и при  $T_* \approx 7.586$ .





**Рис. 6.** *a* — интенсивность тепловыделения  $f_Q(r)$  (1,3) и  $f_E(r)$  (2,4) при циркуляции  $\Gamma = 0$  (1,2) и  $\Gamma = 1.1$  (3,4); *b* — зависимости полной энтальпии  $H_*$  (1,  $\Phi_Q = \Phi_E = H_*$ ), энергетических параметров  $Q_*$  (2) и  $E_*$  (3) от циркуляции  $\Gamma$ ; *c* — связь  $H_*$ ,  $Q_*$  и  $E_*$  с температурой  $T_*$ ;  $r_b = 1.1$ ,  $\gamma_0 = 1.4$ ,  $T_0 = 1000$  К.

Сравнение модели настоящей работы со стандартной моделью воздуха [28] в сечениях  $r_*$ ,  $r_b$ ,  $r_m$  показало соответствие с относительной погрешностью  $\Delta\gamma/\gamma_{\text{stand}} \sim 10^{-4}$ , термического уравнения состояния  $p(\rho, T)$  с погрешностью  $\Delta p/p_{\text{stand}} \sim 10^{-3}$ , теплоемкости при постоянном давлении —  $\Delta C_p/C_{p,\text{stand}} \sim 10^{-3}$  при  $T_0 \leq 850$  К (для последней в сечении  $r_b$  — до 1.66%). При  $T_0 \approx 1000$  К в критических сечениях  $r_*$  погрешность составила  $\Delta\gamma/\gamma_{\text{stand}} \sim 10^{-4}$ ,  $\Delta p/p_{\text{stand}} \sim 10^{-3}$ ,  $\Delta C_p/C_{p,\text{stand}} \sim 10^{-3}$ ; в сечениях  $r_b$ ,  $r_m$  максимальная погрешность достигает 1.8%.

В частных случаях возможны упрощения при вычислении искомых параметров.

### Варианты $T_m = 1$ и $T_b = 1$

При  $T_m = 1$  имеем  $h_{e,m} = 0$ , плотность  $\rho_m = 1$ , давление  $p_m = 1$  и функция  $\psi_m = 1$ ,  $\gamma_m = \gamma_0$ . Условие минимума  $dr/dT = 0$  при координате  $r_m = 1$  эквивалентно равенству радиального числа Маха единице, следовательно, радиальная скорость  $u_m$  равна ско-

рости звука  $u_m = c_m = \sqrt{[(\gamma_0 - 1)/2]}$ . Расход (отметим его индексом „1“ в этом частном примере) равен  $m_1 = u_m = \sqrt{[(\gamma_0 - 1)/2]}$  и фиксирован, только при таком расходе получим  $T_m = 1$ . Из уравнения сохранения энергии (27) находим циркуляцию  $\Gamma_1 = \sqrt{[H_{00} - (\gamma_0 + 1)/2]}$ . Следовательно, минимальная энтальпия  $H_{00,\text{min}}$ , которой соответствует  $T_m = 1$ , будет при  $\Gamma_1 = 0$  и равна  $H_{00,\text{min}} = (\gamma_0 + 1)/2$ . Полная скорость равна

$$V_m = \sqrt{(\Gamma_1^2 + m_1^2)} = \sqrt{(H_{00} - 1)},$$

полное число Маха

$$M_m = \sqrt{[2(\Gamma_1^2 + m_1^2)/(\gamma_0 - 1)]} = \sqrt{[2(H_{00} - 1)/(\gamma_0 - 1)]}.$$

При  $T_b = 1$  приняли  $h_{e,b} = 0$ . Заметим, что в этом частном примере  $T_m > 1$ . Из уравнений (28), (29) следует, что  $\rho_b = 1$ ,  $p_b = 1$ ,  $\psi_b = 1$ ,  $\gamma_b = \gamma_0$ , скорость звука  $c_b = \sqrt{[(\gamma_0 - 1)/2]}$ . Из уравнения сохранения энергии (27) находим полную скорость  $V_b = \sqrt{(H_{00} - 1)}$ . Напомним, что в зоне энергоподвода при изобарическом

нагреве постоянной остается также и полная скорость. Из решения (30) находим координату входа в зону нагрева:  $r_b = \sqrt{[(\Gamma^2 + m^2)/(H_{00} - 1)]}$ .

Например, при  $\Gamma = 0$  и  $T_0 = 400, 500, 600, 750$  К находим безразмерный расход  $m \approx 0.696, 1.379, 2.454, 5.191$ , полная энтальпия  $H_{00} \approx 1.390, 1.744, 2.104, 2.659$ , координата начала зоны энергоподвода  $r_b \approx 1.114, 1.599, 2.336, 4.031$ .

Критические температура  $T_*$  и координата  $r_*$  равны, согласно (21), (22):  $T_* = 2\gamma_0(H_{00} - 1)/(\gamma_0 - 1)/\gamma_* \approx 1.984, 3.922, 5.914, 8.964$ ,  $r_* = r_b T_* \approx 2.209, 6.272, 13.81, 36.13$ , величина  $\gamma_* \approx 1.380, 1.363, 1.349, 1.334$ .

## Заключение

1. В реальном газе с учетом зависимости теплоемкости от температуры теплоподвод при постоянном давлении в режиме I истечения вихреисточника в вакуум описывается аналитическим решением для функций скорости, плотности, температуры, чисел Маха.

2. При невысоких температурах торможения  $T_0 \leq 300$  К неидеальность (несовершенство) газа слабо влияет на функции распределения источников тепла, которые специально подобраны для поддержания давления постоянным. Без теплоподвода связь давления с плотностью удобно нормировать на бесконечности, где она близка к изэнтропической.

3. При температуре  $T_0$  порядка 1000 К предлагается нормировка в сечении  $r_n$ , с условиями, близкими к нормальным  $T_{n0}, p_{n0}$  (или известным из эксперимента, включая аналог изэнтропического соотношения между давлением и плотностью  $p/p_{n0} \approx (\rho/\rho_{n0})^{\gamma_0}$ ), расположенном в произвольном сечении ( $T_n < T_m, T_n > T_m$ ), включая минимальное  $r_n = r_m = 1 = T_n = T_m$ .

4. В рассмотренном диапазоне температур торможения  $T_0 \approx 288-1000$  К максимальный расход  $m$  увеличивается более чем в 60 раз (от 0.2588 до 15.63), температура в минимальном сечении  $T_m$  — в 3 раза, критическая температура  $T_*$  — почти в 4 раза при нулевой циркуляции  $\Gamma = 0$ .

5. Максимальная циркуляция  $\Gamma_{\max} = \sqrt{H_{00}}$  увеличивается почти вдвое (от 1 до 1.93), рост циркуляции приводит к росту критической температуры  $T_*$  в несколько раз и координаты  $r_*$  в десятки раз. Температуры  $T_m$  (в минимальном сечении) и  $T_b$  (в начале зоны) убывают до нуля.

Работа выполнена при поддержке Государственной программы № П-09 президиума РАН.

## Приложение

Предполагается, что характерное аэродинамическое время существенно превышает время релаксации колебательных степеней свободы молекул воздуха (азота и кислорода). По определению [17,27] энтропия  $S$  — одна из термодинамических характеристик газа, в случае

зависимости теплоемкостей при постоянном давлении и объеме  $C_p, C_v$  от  $T$  связана с другими характеристиками  $\rho, p$  и  $T$  соотношением (все в физических переменных):

$$dS = \frac{C_v dT + pd(1/\rho)}{T} = \frac{R}{\mu(\gamma_0 - 1)} \left\{ d \left[ \ln \left( \frac{p}{\rho^{\gamma_0}} \right) \right] + (\gamma_0 - 1) \frac{X_T dT}{T} \right\}. \quad (\text{П1})$$

С другой стороны, из (2) и (4) в отсутствие теплоподвода при  $f = 0$  имеем

$$V dV + \frac{1}{\rho} dp = 0 \text{ и } V dV + dh = 0. \quad (\text{П2})$$

Следовательно,

$$dh = \frac{1}{\rho} dp \text{ или } C_v dT + \frac{R}{\mu} dT = \frac{1}{\rho} dp. \quad (\text{П3})$$

Используя уравнение Менделеева–Клапейрона (8) в виде  $dT/T = dp/p = d\rho/\rho$ , подставим  $dT$  во второе слагаемое в левой части, найдем

$$C_v dT + pd(1/\rho) = 0. \quad (\text{П4})$$

Приращение энтропии  $dS$  равно нулю, энтропия сохраняется в отсутствие источников тепла, причем этот вывод справедлив и для течения за зоной энергоподвода.

## Список литературы

- [1] Третьяков П.К., Грачев Г.Н., Иванченко А.И., Крайнев В.Л., Пономаренко А.Г., Тищенко В.Н. // ДАН. 1994. Т. 336. № 4. С. 466–467.
- [2] Борзов В.Ю., Михайлов В.М., Рыбка И.В., Савищенко Н.П., Юрьев А.С. // ИФЖ. 1994. Т. 66. № 5. С. 515–520.
- [3] Miles R.B., Brown G.L., Lempert W.R., Yetter R., Williams G.J., Jr., Bogdonoff S.M., Natelson D., Guest J.R. // AIAA J. 1995. Vol. 33. N 8. P. 1463–1470.
- [4] Chernyi G.G. // AIAA Paper. 1999. N 99–4819.
- [5] Зудов В.Н., Третьяков П.К., Тупикин А.В., Яковлев В.И. // Изв. РАН. МЖГ. 2003. № 5. С. 140–153.
- [6] Громов В.Г., Еришов А.П., Левин В.А., Шибков В.М. // ТВТ. 2006. Т. 44. № 2. С. 185–194.
- [7] Klimov A.I. // Proc. of the 9<sup>th</sup> Int. Workshop on Magneto-Plasma Aerodynamics. Moscow, 2010. P. 13–20.
- [8] Ефимов Б.Г., Иванов В.В., Инишаков С.И., Скворцов В.В., Стародубцев М.А. // ТВТ. 2011. Т. 49. № 4. С. 497–504.
- [9] Пирогов С.Ю. // ЖТФ. 2013. Т. 83. Вып. 4. С. 29–33.
- [10] Kogan M.N., Kucherov A.N. // Proc. of the 9<sup>th</sup> Int. Workshop on Magneto-Plasma Aerodynamics. Moscow, 2010. P. 59–69.
- [11] Абрамович Г.Н. // ДАН СССР. 1946. Т. 54. № 7. С. 579–581.
- [12] Вулис Л.А. // ДАН СССР. 1946. Т. 54. № 8. С. 669–672.
- [13] Кучеров А.Н. // ИФЖ. 2010. Т. 83. № 5. С. 873–877.
- [14] Кучеров А.Н. // ЖТФ. 2011. Т. 81. Вып. 7. С. 35–42.
- [15] Кучеров А.Н. // Ученые записки ЦАГИ. 2012. Т. 43. № 2. С. 31–42.

- [16] Кучеров А.Н. // Матер. XXIV Науч. техн. конф. по аэродинамике. Моск. обл. п. Володарского, Центральный аэрогидродинамический институт им. проф. Н.Е. Жуковского. 2013. С. 158.
- [17] Ландау Л.Д., Лифшиц Е.М. Статистическая физика. Т. 5. М.: Наука, 1964. 568 с.
- [18] Гриффит В.Ц. В кн.: Основные результаты экспериментов на ударных трубах / Под ред. Ферри. М.: Гос. изд. лит. по атомной науке и технике, 1963. С. 267.
- [19] Кучеров А.Н. // ЖТФ. 2012. Т. 82. Вып. 11. С. 30–37.
- [20] Кучеров А.Н. // Материалы XXIII Науч. техн. конф. по аэродинамике. Моск. обл., п. Володарского, Центральный аэрогидродинамический институт им. проф. Н.Е. Жуковского, 2012. С. 147–148. Препринт ЦАГИ № 159. М.: Изд. отд. ЦАГИ, 2012. 32 с.
- [21] Кучеров А.Н. // ИФЖ. 2012. Т. 85. № 5. С. 1044–1055.
- [22] Кучеров А.Н. // ЖТФ. 2013. Т. 83. Вып. 7. С. 30–37.
- [23] Кучеров А.Н. М.: Издат. отдел ЦАГИ, Препринт Центрального аэрогидродинамического ин-та № 157. 2009. 36 с. 24.
- [24] Таблицы физических величин. Справочник / Под ред. И.К. Кикоина. М.: Атомиздат, 1976. 1006 с.
- [25] Физические величины. Справочник / Под ред. И.С. Григорьева и Е.З. Мейлихова. М.: Энергоатомиздат, 1991. 1232 с.
- [26] Глаголев Ю.А. Справочник по физическим параметрам атмосферы. Л.: Гидрометеорологическое изд-во, 1970. 212 с.
- [27] Лойцянский Л.Г. Механика жидкости и газа. М.: Наука, 1973. 848 с.
- [28] Воздух жидкий и газообразный. Плотность, энтальпия и изобарная теплоемкость при температурах 70–1500 К и давлениях 0.1–100 МПа. ГСССД 8-79, с. 19–34. В сб.: Свойства материалов и веществ. Воздух и его основные компоненты. Вып. 2. Таблицы стандартных справочных данных. М.: Гос. ком. по управлению качеством продукции и стандартам, 1991. 128 с.